

## Влияние аномальной дисперсии на оптические характеристики квантовой ямы

© Л.И. Коровин, И.Г. Ланг, С.Т. Павлов\*,\*\*

Физико-технический институт им. А.Ф. Иоффе Российской академии наук,  
194021 Санкт-Петербург, Россия

\* Facultad de Física de la UAZ,

Apartado Postal C-580, 8060 Zacatecas, Mexico

\*\* Физический институт им. П.Н. Лебедева Российской академии наук,  
119991 Москва, Россия

E-mail: korovin@mail.ioffe.ru

(Поступила в Редакцию 27 марта 2006 г.)

Исследуется частотная зависимость оптических характеристик квантовой ямы (отражения, пропускания и поглощения) в окрестности межзонных резонансных переходов в случае двух близко расположенных возбужденных уровней. Рассматриваются широкая квантовая яма в сильном магнитном поле, направленном нормально к поверхности ямы, и монохроматическая падающая волна. Учтены различия между показателями преломления барьеров и квантовой ямы и пространственная дисперсия световой волны. Показано, что при больших радиационных временах жизни возбужденных состояний (по сравнению с нерадиационными временами) частотная зависимость коэффициента отражения света в области резонансных межзонных переходов в основном определяется кривой, аналогичной кривой аномальной дисперсии показателя преломления. По мере выравнивания времен жизни вклад этой кривой ослабевает, а при обратном соотношении времен жизни он практически незаметен. Показано также, что в коэффициентах пропускания и поглощения света частотной зависимости, похожей на аномальную дисперсию, не возникает.

PACS: 78.20.Bh, 78.20.Ls, 78.67.De

Оптические методы на протяжении последних десятилетий широко используются при исследовании электронных свойств систем пониженной размерности [1–4]. Это связано главным образом с тем, что после взаимодействия с такой системой электромагнитная волна содержит информацию о протекающих электронных процессах, в частности об электронном спектре, времени жизни возбужденных состояний и механизмах рассеяния, эти времена определяющих. Интересные результаты получаются в том случае, когда уровни энергии электронной системы дискретны, что имеет место в квантовых точках и квантовых ямах. Дискретность уровней в квантовой яме обеспечивается экситонными состояниями (если свет падает нормально к плоскости ямы) либо квантующим магнитным полем, также направленным перпендикулярно плоскости ямы. В квантовых ямах с высоким качеством границ радиационное уширение линии поглощения при низких температурах и слабом легировании может быть сравнимо с вкладом нерадиационных механизмов релаксации или превышать их. В этом случае нельзя ограничиться линейным по взаимодействию электрона с электромагнитным полем приближением, а необходимо учитывать все порядки этого взаимодействия [5–24].

Отражение, поглощение и пропускание электромагнитной волны, которая взаимодействует с дискретными уровнями электронной системы в квантовой яме в области частот, соответствующих межзонным переходам, рассматривались также в [13–19]. В этих работах в качестве возбуждающей волны предполагалось как монохроматическое [19], так и импульсное облучение [13–15].

Учитывались один [16], два [17,19] и большое число возбужденных уровней [18]. Результаты этих работ справедливы для узких квантовых ям, когда выполняется неравенство

$$kd \ll 1, \quad (1)$$

где  $d$  — ширина квантовой ямы,  $k$  — модуль волнового вектора  $\mathbf{k}$  световой волны. Фактически, упомянутые работы справедливы в нулевом по параметру  $kd$  приближении.

С другой стороны, для широких квантовых ям параметр  $kd$  может быть  $\approx 1$ . Например, для излучения гетеролазера на основе арсенида галлия (длина волны  $0.8 \mu\text{m}$ ) и квантовой ямы шириной  $d \cong 500 \text{ \AA}$  параметр  $kd \cong 1.5$ . В этом случае необходимо учитывать пространственную дисперсию электромагнитной волны, так как ее амплитуда сильно меняется на ширине ямы. Кроме того, для широких квантовых ям неравенство  $d \gg a_0$  ( $a_0$  — постоянная решетки) является очень сильным, что позволяет при определении электромагнитного поля использовать уравнение Максвелла для сплошной среды. Такой подход позволяет учесть и различие в показателях преломления барьеров и ямы.

В [20,21] развита теория, учитывающая пространственную дисперсию электромагнитной волны при ее прохождении сквозь квантовую яму. Рассматривался один возбужденный уровень (т.е. один межзонный переход) и наряду с пространственной дисперсией вводились показатели преломления барьеров и квантовой ямы как для монохроматического [20], так и для импульсного [21] возбуждения. Работа [22] посвящена учету пространственной дисперсии электромагнитной волны в случае

двух близко расположенных межзонных резонансных переходов, что соответствует магнетополяронному состоянию в квантовой яме [23].

При вычислении оптических характеристик квантовой ямы (имеются в виду коэффициенты отражения, пропускания и поглощения света) в условиях резонанса вклад резонансных переходов выделяется из диэлектрической проницаемости и рассматривается отдельно. Эти резонансные переходы приводят к появлению высокочастотного тока, в котором наряду с вкладом, частотная зависимость которого соответствует поглощению, содержится вклад, частотная зависимость которого похожа на кривую аномальной дисперсии показателя преломления. В настоящей работе на примере двух близко расположенных резонансных переходов исследуется роль этих вкладов в формировании частотных зависимостей отражения, пропускания и поглощения света квантовой ямой. Она является обобщением двух предыдущих работ авторов: в отличие от [20] далее учитываются два возбужденных уровня, а результаты [22] обобщаются на случай, когда показатели преломления барьеров и квантовой ямы различны.

## 1. Основные соотношения

Рассматривается система, состоящая из полупроводниковой квантовой ямы, расположенной в интервале  $0 \leq z \leq d$ , и двух полубесконечных барьеров. Постоянное сильное магнитное поле направлено перпендикулярно плоскости ямы (вдоль оси  $z$ ). Внешняя плоская электромагнитная волна распространяется вдоль оси  $z$  со стороны отрицательных  $z$ . Считается, что барьеры прозрачны для волны, а в квантовой яме волна поглощается, вызывая резонансные межзонные переходы. Предполагаются нулевые температуры, когда валентная зона полностью заполнена, а зона проводимости пустая. В линейном по амплитуде волны приближении возбужденными состояниями являются экситоны. Рассматриваются частоты света, близкие к ширине запрещенной зоны квантовой ямы, когда в поглощении принимает участие малая доля электронов валентной зоны, расположенных вблизи экстремума зоны, для которых справедлив метод эффективной массы. Для глубоких квантовых ям в этом случае можно пренебречь туннелированием электронов в барьеры. Кроме того, уровни, близкие к дну квантовой ямы, можно рассматривать в приближении бесконечно высоких барьеров, хотя это ограничение не является принципиальным и теорию можно распространить на квантовые ямы конечной глубины.

Поскольку размер неоднородности, каковой в данном случае является квантовая яма, сравним с длиной волны света, оптические характеристики такой системы полагается определять из соответствующего уравнения Максвелла, в котором в качестве плотности тока должно фигурировать выражение, полученное на основе микроскопического рассмотрения.

В теории существенны межзонные матричные элементы  $\mathbf{p}_{cv}$  квазиимпульса, соответствующие прямому межзонному переходу, т.е. рождению электронно-дырочной пары с совпадающими координатами электрона и дырки. Как и в предыдущих работах [18,19,24], используется модель, в которой вектор  $\mathbf{p}_{cv}$  для двух типов возбуждений I и II имеет вид

$$\mathbf{p}_{cvI} = \frac{p_{cv}}{\sqrt{2}}(\mathbf{e}_x - i\mathbf{e}_y), \quad \mathbf{p}_{cvII} = \frac{p_{cv}}{\sqrt{2}}(\mathbf{e}_x + i\mathbf{e}_y), \quad (2)$$

где  $\mathbf{e}_{x(y)}$  — орты вдоль оси  $x(y)$ ,  $p_{cv}$  — вещественная константа. Эта модель соответствует тяжелым дыркам в полупроводниках со структурой цинковой обманки, если ось  $z$  направлена вдоль оси симметрии четвертого порядка [25,26]. Если ввести векторы круговой поляризации возбуждающего света

$$\mathbf{e}_l = (\mathbf{e}_x \pm i\mathbf{e}_y)/\sqrt{2}, \quad (3)$$

то выполняется свойство сохранения вектора поляризации. При этом ни волновые функции электронно-дырочной пары, ни уровни энергии не зависят от индексов I и II.

Как известно, для того чтобы электронно-дырочная пара в магнитном поле была свободной, должны выполняться два условия. Во-первых, сила Лоренца должна быть велика по сравнению с кулоновской и обменной силами взаимодействия электрона и дырки в паре. Тогда волновая функция пары может быть представлена в виде произведения двух функций:  $\Phi(z)$  и функции, зависящей от  $\mathbf{r}_\perp$  в плоскости  $x,y$  квантовой ямы. Оценки показывают [27,28], что в арсениде галлия для магнитного поля, соответствующего образованию магнетополярона, это условие выполняется. Во-вторых, необходимо, чтобы энергия размерного квантования превышала энергию кулоновского и обменного взаимодействия в электронно-дырочной паре. Тогда пару можно считать свободной, и в приближении бесконечно высоких барьеров, которое используется далее, волновая функция, описывающая зависимость от координаты  $z$ , принимает простой вид

$$\Phi_\lambda(z) = (2/d) \sin(\pi m_c z/d) \sin(\pi m_v z/d), \quad 0 \leq z \leq d, \quad (4)$$

и  $\Phi_\lambda(z) = 0$  в барьерах. Индекс  $\lambda = (m_c, m_v)$  зависит от квантовых чисел размерного квантования электрона ( $m_c$ ) и дырки ( $m_v$ ).

Заметим, что в арсениде галлия для параметра  $kd \geq 1$  второе условие существования свободной электронно-дырочной пары не выполняется, и вид функции  $\Phi(z)$  там будет другим. Однако приближение (4), существенно упрощая расчет, не влияет качественно, как это показано в разделе 4, на частотную зависимость оптических характеристик квантовой ямы.

В настоящей работе рассматривается монохроматический свет частоты  $\omega_l$  в случае нормального падения возбуждающей волны на плоскость квантовой ямы. В соответствии с этими предположениями электрическое

поле возбуждающей волны имеет вид

$$\mathbf{E}_0 = \mathbf{e}_j E_0 e^{-i(\omega t - \kappa_1 z)} + \text{c.c.}, \quad \kappa_1 = \nu_1 \omega_l / c, \quad (5)$$

где  $E_0$  — комплексная амплитуда,  $\nu_1$  — вещественный показатель преломления в барьерах. Предполагается также, что в квантовой яме имеются два близко расположенных возбужденных уровня, а остальные возбужденные уровни в яме отстоят достаточно далеко. Такое возможно, например, если образуется магнетополяронное состояние [19,23].

В случае прямого межзонного перехода средняя навесная плотность заряда в квантовой яме  $\rho(z, t) = 0$ , что позволяет ввести калибровку  $\varphi(z, t) = 0$ , где  $\varphi(z, t)$  — скалярный потенциал. Тогда амплитуда электрического поля в барьерах определяется уравнением

$$\frac{d^2 E}{dz^2} + \kappa_1^2 E = 0, \quad \kappa_1 = \frac{\nu_1 \omega_l}{c}, \quad z \leq 0, \quad z \geq d, \quad (6)$$

а в квантовой яме ( $0 \leq z \leq d$ ) — уравнением

$$\frac{d^2 E}{dz^2} + \kappa^2 E = -\frac{4\pi i \omega_l}{c^2} \bar{J}(z), \quad \kappa = \frac{\nu \omega_l}{c}, \quad (7)$$

$c$  — скорость света в вакууме,  $\nu_1, \nu$  — вещественные показатели преломления в барьерах и квантовой яме,  $\bar{J}(z)$  — усредненная по основному состоянию системы Фурье-компонента плотности тока, которая наводится в квантовой яме монохроматической плоской волной. В случае двух возбужденных уровней  $\bar{J}(z)$  для квантовой ямы с бесконечно высокими барьерами имеет вид (более общая формула приведена, например, в [20,24])

$$\bar{J}(z) = \frac{i\nu c}{4\pi} \sum_{j=1}^2 \frac{\gamma_{rj} \Phi_j(z)}{\bar{\omega}_j} \int_0^d dz' \Phi_j(z') E(z'), \quad 0 \leq z \leq d, \quad (8)$$

и  $\bar{J}(z) = 0$  в барьерах. Здесь  $\gamma_{rj}$  — обратное радиационное время жизни возбужденных состояний дублета в случае узких ям.

Если дублет образован магнетополяроном А, которому соответствует квантовое число Ландау дырки  $n = 1$  (классификация магнетополяронов приведена в [23]), то

$$\gamma_{rj} = \gamma_r Q_{0j}, \quad (9)$$

где

$$\gamma_r = \frac{2e^2}{\hbar c \nu} \frac{p_{cv}^2}{\hbar \omega_g} \frac{|e|H}{m_0 c} \quad (10)$$

( $\hbar \omega_g$  — ширина запрещенной зоны,  $m_0$  — масса свободного электрона,  $H$  — магнитное поле,  $e$  — заряд электрона), а множитель

$$Q_{0j} = \frac{1}{2} \left( 1 \pm \lambda / \sqrt{\lambda^2 + (\Delta E_{\text{pol}})^2} \right), \quad \lambda = \hbar(\Omega_c - \omega_{LO}) \quad (11)$$

учитывает изменение радиационного времени жизни при отклонении магнитного поля от резонансного значения,

определяемого равенством  $\Omega_c = \omega_{LO}$ ;  $\Delta E_{\text{pol}}$  — поляронное расщепление [24],  $\Omega_c$  и  $\omega_{LO}$  — циклотронная частота и частота продольного оптического фонона соответственно. В точке резонанса  $\lambda = 0$ ,  $Q_{0j} = 1/2$  и  $\gamma_{r1} = \gamma_{r2}$ .

Резонансные знаменатели в (8) равны

$$\tilde{\omega}_j = \omega_l - \omega_j + i\gamma_j/2, \quad (12)$$

где  $\omega_j$  — частоты резонансных переходов уровней дублета,  $\gamma_j$  — обратные нерадикационные времена жизни этих уровней. В (8) учтены только резонансные знаменатели. Индексы  $j = 1$  и  $j = 2$  функции  $\Phi_j(z)$  соответствуют парам квантовых чисел размерного квантования, между которыми происходит переход. Индексу  $j = 1$  соответствуют  $m_c^{(1)}, m_v^{(1)}$ , индексу  $j = 2$  —  $m_c^{(2)}, m_v^{(2)}$ . Квантовое число Ландау  $n$  сохраняется при прямом межзонном переходе. В правую часть уравнения (8) входит полное поле  $E$ , что связано с отказом от теории возмущений по константе связи  $e^2/\hbar c$ .

## 2. Электрическое поле электромагнитной волны

Дальнейший расчет проводится в предположении равенства квантовых чисел

$$m_c^{(1)} = m_c^{(2)} = m_c, \quad m_v^{(1)} = m_v^{(2)} = m_v, \quad (13)$$

что, в частности, соответствует магнетополярону А. В этом случае имеет место равенство

$$\Phi_1(z) = \Phi_2(z) = \Phi_{m_c m_v}(z) \equiv \Phi(z), \quad (14)$$

а формула (8) принимает вид

$$\bar{J}(z) = \frac{i\nu c}{4\pi} \left( \frac{\gamma_{r1}}{\bar{\omega}_1} + \frac{\gamma_{r2}}{\bar{\omega}_2} \right) \Phi(z) \int_0^d dz' \Phi(z') E(z'). \quad (15)$$

Решение уравнения (6), определяющее амплитуду поля  $E(z)$  в барьерах, есть

$$E^l(z) = E_0 e^{i\kappa_1 z} + C_R e^{-i\kappa_1 z}, \quad z \leq 0, \quad (16)$$

$$E^r(z) = C_T e^{i\kappa_1 z}, \quad z \geq d, \quad (17)$$

$C_R$  определяет амплитуду отраженной,  $C_T$  — амплитуду прошедшей яму волны. Уравнение (7) для амплитуды поля в квантовой яме, которое является интегродифференциальным, удобно представить в виде интегрального уравнения Фредгольма второго рода [20]

$$E(z) = C_1 e^{i\kappa z} + C_2 e^{-i\kappa z} - \frac{i}{2} \left( \frac{\gamma_{r1}}{\bar{\omega}_1} + \frac{\gamma_{r2}}{\bar{\omega}_2} \right) F(z) \int_0^d dz' \Phi(z') E(z'), \quad (18)$$

где

$$F(z) = F_{m_c m_v} = e^{i\kappa z} \int_0^z dz' e^{-i\kappa z'} \Phi(z') + e^{-i\kappa z} \int_z^d dz' e^{i\kappa z'} \Phi(z'). \quad (19)$$

Для произвольных  $m_c$  и  $m_v$   $F(z)$  равно

$$F(z) = i\mathcal{B} \left\{ d\tilde{\Phi}(z) - e^{i\kappa z} - (-1)^{m_c+m_v} e^{i\kappa(d-z)} + \frac{d}{2} \left[ \frac{m_c^2 + m_v^2}{m_c m_v} - \frac{(\kappa d)^2}{\pi^2 m_c m_v} \right] \Phi(z) \right\}, \quad (20)$$

$\Phi(z)$  определено в (4),

$$\tilde{\Phi}(z) = (2/d) \cos(\pi m_c z/d) \cos(\pi m_v z/d),$$

$$\mathcal{B} = \frac{4\pi^2 m_c m_v \kappa d}{[\pi^2(m_c + m_v)^2 - (\kappa d)^2][(\kappa d)^2 - \pi^2(m_c - m_v)^2]}. \quad (21)$$

Из (19) и (20) следует, что

$$F(0) = i\mathcal{B} [1 - (-1)^{m_c+m_v} e^{i\kappa d}], \\ F(d) = (-1)^{m_c+m_v} F(0). \quad (22)$$

Умножая уравнение (18) на  $\Phi(z)$  и интегрируя по  $z$  от 0 до  $d$ , получим

$$\int_0^d dz \Phi(z) E(z) = \frac{h\tilde{\omega}_1 \tilde{\omega}_2}{\tilde{\omega}_1 \tilde{\omega}_2 + (i\varepsilon/2)[\gamma_{r1} \tilde{\omega}_2 + \gamma_{r2} \tilde{\omega}_1]}, \quad (23)$$

где введены обозначения

$$\varepsilon = \varepsilon' + i\varepsilon'' = \int_0^d dz \Phi(z) F(z), \quad (24)$$

$$h = \int_0^d dz \Phi(z) (C_1 e^{i\kappa z} + C_2 e^{-i\kappa z}) \\ = F(0) [C_1 + (-1)^{m_c+m_v} e^{-i\kappa d} C_2]. \quad (25)$$

В результате комплексная амплитуда электрического поля в квантовой яме принимает вид

$$E(z) = C_1 e^{i\kappa z} + C_2 e^{-i\kappa z} \frac{(1/2)hF(z)(\gamma_{r1} \tilde{\omega}_2 + \gamma_{r2} \tilde{\omega}_1)}{\tilde{\omega}_1 \tilde{\omega}_2 + i(\varepsilon/2)(\gamma_{r1} \tilde{\omega}_2 + \gamma_{r2} \tilde{\omega}_1)}. \quad (26)$$

Параметр  $\varepsilon$ , как и в случае одного возбужденного уровня, определяет перенормировку радиационного

уширения  $\varepsilon'$  и сдвиг  $\varepsilon''$  каждого из двух возбужденных уровней. Из (24) и (20) следует, что

$$\operatorname{Re} \varepsilon = \varepsilon' = 2\mathcal{B}^2 [1 - (-1)^{m_c+m_v} \cos \kappa d], \\ \operatorname{Im} \varepsilon = \varepsilon'' = 2\mathcal{B} \left\{ \frac{(1 + \delta_{m_c m_v})(m_c + m_v)^2 + (m_c - m_v)^2}{8m_c m_v} - (-1)^{m_c+m_v} \mathcal{B} \sin \kappa d - \frac{(2 + \delta_{m_c m_v})(\kappa d)^2}{8m_c m_v} \right\}, \quad (27)$$

при  $\kappa d \rightarrow 0$   $\varepsilon' \rightarrow 1$ ,  $\varepsilon'' \rightarrow 0$  ( $m_c = m_v$ ) и  $\varepsilon' \rightarrow 0$ ,  $\varepsilon'' \rightarrow 0$  ( $m_c \neq m_v$ ). Таким образом, реальное радиационное уширение уровней дублета определяется величинами

$$\varepsilon' \gamma_{ri} = \tilde{\gamma}_{ri}, \quad i = 1, 2. \quad (28)$$

Тот факт, что  $\varepsilon'$  и  $\varepsilon''$  одинаковы для обоих уровней дублета, связан с предположением о равенстве квантовых чисел размерного квантования  $m_{c(v)}^{(1)} = m_{c(v)}^{(2)}$ .

Произвольные константы  $C_1$  и  $C_2$  входят, согласно (25), в функцию  $h$ . Константы  $C_1$ ,  $C_2$ ,  $C_R$  и  $C_T$  определялись из условий непрерывности магнитного поля и тангенциальной проекции электрического поля на границах  $z = 0$  и  $z = d$ . Нормальные проекции электрического поля равны нулю. Произвольные константы равны

$$C_1 = \frac{2E_0}{\Delta} e^{-i\kappa d} [1 + \xi + (1 - \xi)N], \\ C_2 = -\frac{2E_0}{\Delta} (1 - \xi) [e^{i\kappa z} + (-1)^{m_c+m_v} N], \quad (29)$$

$$C_R = E_0 \rho / \Delta,$$

$$C_T = 4E_0 \xi e^{-i\kappa d} [1 + (-1)^{m_c+m_v} e^{-i\kappa d} N] / \Delta, \quad (30)$$

$$\Delta = (\xi + 1)^2 e^{-i\kappa d} - (\xi - 1)^2 e^{i\kappa d} - 2(\xi - 1)[(\xi + 1)e^{-i\kappa d} + (-1)^{m_c+m_v}(\xi - 1)]N. \quad (31)$$

$$\rho = 2i(\xi^2 - 1) \sin \kappa d + 2[(\xi^2 - 1)e^{-i\kappa d} + (-1)^{m_c+m_v}(\xi^2 - 1)]N. \quad (32)$$

В формулах (29)–(32) введено обозначение

$$\xi = \kappa / \kappa_1 = v / v_1, \quad (33)$$

а функция  $N$  имеет вид

$$N = -i(-1)^{m_c+m_v} \exp(i\kappa d) \times \frac{(\tilde{\gamma}_{r1} \tilde{\omega}_2 + \tilde{\gamma}_{r2} \tilde{\omega}_1) / 2}{\tilde{\omega}_1 \tilde{\omega}_2 + i(\varepsilon/2)(\gamma_{r1} \tilde{\omega}_2 + \gamma_{r2} \tilde{\omega}_1)}. \quad (34)$$

При выводе этой формулы использовалось равенство

$$F(0)^2 = (-1)^{m_c+m_v} \exp(i\kappa d) \varepsilon'. \quad (35)$$

Неопределенные коэффициенты (29), (30) по форме совпадают с полученными в [20] для одного возбужденного уровня. Различие заключается в функции  $N$ , которая в случае  $\gamma_{r1}$  (или  $\gamma_{r2}$ )  $\rightarrow 0$  переходит в  $\mathcal{N}$  (см. формулу (41) в [20]).

Кривая  $N(\omega_l)$  есть функция с двумя экстремумами, каждый из которых соответствует межзонному резонансному переходу. Ее можно представить в более наглядном виде, а именно

$$N = -i(-1)^{m_c+m_v} \exp(ikd) \times \left[ \frac{\tilde{\gamma}_{r1}/2}{\Omega_1 + i\Gamma_1/2} + \frac{\tilde{\gamma}_{r2}/2}{\Omega_2 + i\Gamma_2/2} \right]. \quad (36)$$

Здесь перенормированные резонансные частоты  $\Omega_1$  и  $\Omega_2$  и общее уширение каждого уровня  $\Gamma_1$  и  $\Gamma_2$  равны

$$\Omega_j = \omega_l - \omega_j - \varepsilon''\gamma_{rj}/2 - \beta_j'', \quad \Gamma_j = \gamma_j + \tilde{\gamma}_{rj} + 2\beta_j'. \quad (37)$$

Величины  $\beta_{1(2)}'$  и  $\beta_{1(2)}''$  составляют комплексные параметры

$$\beta_1 = \beta_1' + i\beta_1'' = \frac{\varepsilon\gamma_{r2}}{2} \frac{\tilde{\omega}_1}{\tilde{\omega}_2}, \quad \beta_2 = \beta_2' + i\beta_2'' = \frac{\varepsilon\gamma_{r1}}{2} \frac{\tilde{\omega}_2}{\tilde{\omega}_1}. \quad (38)$$

Они определяют влияние уровней друг на друга. В функции (36) два пика представлены в явной форме, но они не являются лоренцовыми, поскольку параметры  $\beta_1$  и  $\beta_2$ , вносящие вклад как в уширение, так и в сдвиг пиков, зависят от частоты. Естественно, что представление функции  $N$  в виде суммы лоренцовых (как это сделано в [19,22]) и нелоренцовых кривых приводит к одинаковым результатам. Приведем также явный вид параметров  $\beta_j'$  и  $\beta_j''$ :

$$\beta_1' = \frac{(\tilde{\gamma}_{r2}/2)\sigma_1 - \varepsilon''(\gamma_{r2}/2)\sigma_2}{(\omega_l - \omega_2)^2 + \gamma_2^2/4}, \quad \beta_2' = \frac{(\tilde{\gamma}_{r1}/2)\sigma_1 + \varepsilon''(\gamma_{r1}/2)\sigma_2}{(\omega_l - \omega_1)^2 + \gamma_1^2/4},$$

$$\beta_1'' = \frac{(\tilde{\gamma}_{r2}/2)\sigma_2 + \varepsilon''(\gamma_{r2}/2)\sigma_1}{(\omega_l - \omega_2)^2 + \gamma_2^2/4}, \quad \beta_2'' = \frac{-(\tilde{\gamma}_{r1}/2)\sigma_2 + \varepsilon''(\gamma_{r1}/2)\sigma_1}{(\omega_l - \omega_1)^2 + \gamma_1^2/4},$$

$$\sigma_1 = (\omega_l - \omega_1)(\omega_l - \omega_2) + \gamma_1\gamma_2/4, \quad \sigma_2 = (\gamma_1/2)(\omega_l - \omega_2) - (\gamma_2/2)(\omega_l - \omega_1).$$

Вектор электрического поля в квантовой яме в случае плоской монохроматической возбуждающей волны во временном представлении имеет вид

$$\mathbf{E}(z, t) = \mathbf{e}_l e^{-i\omega t} E(z) + \text{c.c.}, \quad (39)$$

где

$$E(z) = \left[ e^{ikz} + (F(z)/F(0))N \right] C_1 + \left[ e^{-ikz} + (-1)^{m_c+m_v} e^{-ikd} (F(z)/F(0))N \right] C_2 \quad (40)$$

представляет собой сумму плоских волн  $\exp \pm ikz$ , которые связаны с отражением от границ ямы. Кроме того, как это следует из вида функции  $F(z)$ , поле в квантовой яме содержит осциллирующие члены, отражающие координатную зависимость волновых функций электрона и дырки. Векторы поля слева ( $\mathbf{E}^l(z, t)$ ) и справа ( $\mathbf{E}^r(z, t)$ ) от квантовой ямы во временном представлении соответственно равны

$$\mathbf{E}^l(z, t) = \mathbf{e}_l e^{-i\omega t} [E_0 e^{ik_1 z} + C_R e^{-ik_1 z}] + \text{c.c.},$$

$$\mathbf{E}^r(z, t) = \mathbf{e}_l C_T e^{-i(\omega t - \kappa_1 z)} + \text{c.c.} \quad (41)$$

В предельном случае однородной среды ( $\nu = \nu_1$ ,  $\xi = 1$ ) электрическое поле после подстановки (29) и (30) принимает вид ( $\kappa d \neq 0$ )

$$\mathbf{E}^l(z, t) = \mathbf{e}_l E_0 e^{-i\omega t} \left[ e^{ikz} - (-1)^{m_c+m_v} \left( \frac{\tilde{\gamma}_{r1}/2}{\Omega_1 + i\Gamma_1/2} + \frac{\tilde{\gamma}_{r2}/2}{\Omega_2 + i\Gamma_2/2} \right) e^{ik(d-z)} \right] + \text{c.c.}, \quad (42)$$

$$\mathbf{E}^r(z, t) = \mathbf{e}_l E_0 e^{-i\omega t} \times \left[ 1 - i \left( \frac{\tilde{\gamma}_{r1}/2}{\Omega_1 + i\Gamma_1/2} + \frac{\tilde{\gamma}_{r2}/2}{\Omega_2 + i\Gamma_2/2} \right) \right] e^{ikz}, \quad (43)$$

$$\mathbf{E}(z, t) = \mathbf{e}_l E_0 e^{-i\omega t} \left[ e^{ikz} - i(-1)^{m_c+m_v} e^{ikd} \times \left( \frac{\tilde{\gamma}_{r1}/2}{\Omega_1 + i\Gamma_1/2} + \frac{\tilde{\gamma}_{r2}/2}{\Omega_2 + i\Gamma_2/2} \right) \frac{F(z)}{F(0)} \right] + \text{c.c.} \quad (44)$$

Если, наоборот, пренебречь пространственной дисперсией световой волны ( $\kappa d = 0$ ), но среду считать неоднородной ( $\xi \neq 1$ ), то для разрешенных переходов  $m_c = m_v$ ,

$$\mathbf{E}^l(z, t) = \mathbf{e}_l E_0 e^{-i\omega t} \left[ e^{ik_1 z} + \frac{\xi N}{1 - (\xi - 1)N} \right] + \text{c.c.},$$

$$\mathbf{E}^r(z, t) = \mathbf{e}_l E_0 e^{-i\omega t} \left[ \frac{1 + N}{1 - (\xi - 1)N} \right] e^{ik_1 z} + \text{c.c.},$$

$$\mathbf{E}(t) = \mathbf{e}_l E_0 e^{-i\omega t} \left[ \frac{1 + N}{1 - (\xi - 1)N} \right] + \text{c.c.} \quad (45)$$

Входящие в формулу (45) функции  $\xi N / (1 - (1 - \xi)N)$  и  $(1 + N) / (1 - (1 - \xi)N)$  в рассматриваемом предельном случае имеют вид

$$\frac{\xi N}{1 - (\xi - 1)N} = - \frac{i\xi(\gamma_{r1}\tilde{\omega}_2 + \gamma_{r2}\tilde{\omega}_1)/2}{\tilde{\omega}_1\tilde{\omega}_2 + i\xi(\gamma_{r1}\tilde{\omega}_2 + \gamma_{r2}\tilde{\omega}_1)/2},$$

$$\frac{1 + N}{1 - (\xi - 1)N} = \frac{\tilde{\omega}_1\tilde{\omega}_2}{\tilde{\omega}_1\tilde{\omega}_2 + i\xi(\gamma_{r1}\tilde{\omega}_2 + \gamma_{r2}\tilde{\omega}_1)/2}.$$

Из приведенных выражений видно, что  $\gamma_{ri}$  и  $\xi$  входят только в виде произведения  $\gamma_{ri}\xi$ . Это означает, что при

$\nu \neq \nu_1$  в случае узких ям в радиационное затухание входит показатель преломления барьеров  $\nu_1$ , а показатель преломления вещества квантовой ямы  $\nu$  вообще нигде не фигурирует. Физический смысл этого результата понятен: при  $\kappa d \ll 1$  можно перейти к пределу  $d \rightarrow 0$ , когда вещество квантовой ямы отсутствует, но сохраняется наведенный ток, соответствующий переходам с рождением экситонов. Таким образом, доказано, что полученные ранее результаты для узких ям справедливы и при  $\nu \neq \nu_1$ , поскольку в формулы входит только показатель преломления барьеров.

В этом предельном случае поле в квантовой яме не зависит от координаты, так как в дипольном приближении фаза световой волны не меняется по всей ширине ямы.

### 3. Оптические характеристики квантовой ямы

В этом разделе приводятся формулы для отражения, пропускания и поглощения квантовой ямой плоской монохроматической электромагнитной волны как в общем случае, когда  $\nu \neq \nu_1$  и  $\kappa d \neq 0$ , так и в предельных случаях однородной среды и  $\kappa d = 0$ .

Коэффициент отражения  $R$  определяется стандартным образом как отношение модуля отраженного потока энергии к модулю падающего потока энергии, т. е.

$$R = |C_R|^2 / |E_0|^2. \quad (46)$$

Аналогично коэффициент пропускания  $T$  определяется как

$$T = |C_T|^2 / |E_0|^2. \quad (47)$$

Безразмерный коэффициент поглощения  $A$  (доля поглощенной квантовой ямой энергии) в соответствии с (46) и (47) имеет вид

$$A = 1 - R - T. \quad (48)$$

Используя формулы (31), (32) и (30), можно представить отражение  $R$  в форме

$$R = [v_1 + (L^2 + G^2)X_1 - YL - Z_1G] / |\Delta|^2. \quad (49)$$

Определенный формулой (21) знаменатель  $\Delta$  преобразуется к виду

$$|\Delta|^2 = v + (L^2 + G^2)X - YL + ZG. \quad (50)$$

Функции  $L$  и  $G$  определяют частотную зависимость отражения в области межзонных переходов на два возбужденных уровня; они равны

$$L = \sum_{j=1}^2 \frac{(\tilde{\gamma}_{rj}/2)\Omega_j}{\Omega_j^2 + \Gamma_j^2/4}, \quad G = \sum_{j=1}^2 \frac{\tilde{\gamma}_{rj}\Gamma_j/4}{\Omega_j^2 + \Gamma_j^2/4}, \quad (51)$$

$$L^2 + G^2 \equiv |N|^2 = \frac{(\tilde{\gamma}_{r1}/2)^2}{\Omega_1^2 + \Gamma_1^2/4} + \frac{(\tilde{\gamma}_{r2}/2)^2}{\Omega_2^2 + \Gamma_2^2/4} + \frac{2(\tilde{\gamma}_{r1}/2)(\tilde{\gamma}_{r2}/2)(\Omega_1\Omega_2 + \Gamma_1\Gamma_2)}{(\Omega_1^2 + \Gamma_1^2/4)(\Omega_2^2 + \Gamma_2^2/4)}. \quad (52)$$

Коэффициенты  $v$ ,  $v_1$ ,  $X$ ,  $X_1$ ,  $Y$ ,  $Z$  и  $Z_1$  зависят от параметров  $\xi = \nu/\nu_1$  и  $\kappa d$

$$v = 4[4\xi^2 \cos^2 \kappa d + (\xi^2 + 1)^2 \sin^2 \kappa d],$$

$$v_1 = 4(\xi^2 - 1)^2 \sin^2 \kappa d, \quad (53)$$

$$X = 8(\xi - 1)^2 [\xi^2 + 1 + (-1)^{m_c+m_v} (\xi^2 - 1) \cos \kappa d],$$

$$X_1 = 8[\xi^4 + 1 + (-1)^{m_c+m_v} (\xi^4 - 1) \cos \kappa d], \quad (54)$$

$$Y = 8(\xi^2 - 1)[(-1)^{m_c+m_v} (\xi^2 + 1) + (\xi^2 - 1) \cos \kappa d] \sin \kappa d, \quad (55)$$

$$Z = 8(\xi - 1)[(-1)^{m_c+m_v} (\xi^2 + 1) + (\xi^2 - 1) \cos \kappa d]$$

$$\times [(-1)^{m_c+m_v} (\xi - 1) + (\xi + 1) \cos \kappa d],$$

$$Z_1 = 8(\xi^2 - 1)^2 \sin^2 \kappa d. \quad (56)$$

Если в квантовой яме имеется один возбужденный уровень, то в формуле (49) следует перейти к пределу  $\gamma_{r2} \rightarrow 0$ ,  $\gamma_{r1} = \gamma_r$ ,  $\nu_1 \rightarrow \nu$ ,  $\omega_1 = \omega_0$ . Коэффициент отражения в этом случае имеет вид

$$R = \frac{1}{|\Delta|^2} \left[ v_1 + \frac{(\tilde{\gamma}_r/2)^2 X_1 - (\tilde{\gamma}_r/2)(Y\Omega + Z_1\Gamma/2)}{\Omega^2 + \Gamma^2/4} \right],$$

$$|\Delta|^2 = v + \frac{(\tilde{\gamma}_r/2)^2 X - (\tilde{\gamma}_r/2)(Y\Omega - Z\Gamma/2)}{\Omega^2 + \Gamma^2/4},$$

$$\Omega = \omega_l - \omega_0 - \varepsilon''\gamma_r/2,$$

$$\Gamma = \gamma + \tilde{\gamma}_r, \quad \tilde{\gamma}_r = \varepsilon'\gamma_r. \quad (57)$$

Поскольку показатели преломления барьеров и квантовой ямы, как правило, мало отличаются друг от друга, т. е.  $\xi \simeq 1$ , в знаменателе  $|\Delta|^2$  доминирующую роль играет  $v \simeq 4$ . Остальные слагаемые содержат множители  $\xi^2 - 1$  либо  $(\xi - 1)^2$  и малы по сравнению с  $v$  даже в резонансе, когда  $L$  и  $G \simeq 1$ . В числителе же  $R$  величина  $v_1 \ll 1$ , и вклад остальных слагаемых значителен. В частности, существенную роль играет знакопеременный член  $\sim L$ , частотная зависимость которого похожа на кривую аномальной дисперсии. Такая зависимость имеет место в показателе преломления в области частот, соответствующих пикам поглощения.

Коэффициент пропускания  $T$  равен

$$T = 16\xi^2 [L^2 + (1 - G)^2] / |\Delta|^2 \quad (58)$$

и не содержит знакопеременных членов в числителе. То же имеет место и для поглощения

$$A = 16\xi [\xi^2 + 1 + (-1)^{m_c+m_v} (\xi^2 - 1) \cos \kappa d] \times [G - (L^2 + G^2)] / |\Delta|^2. \quad (59)$$

Для одного возбужденного уровня соответственно получаем

$$T = \frac{16\xi^2}{|\Delta|^2} \frac{\Omega^2 + \gamma^2/4}{\Omega^2 + \Gamma^2/4},$$

$$A = \frac{16\xi [\xi^2 + 1 + (\xi^2 - 1) \cos \kappa d]}{|\Delta|^2} \frac{\gamma\tilde{\gamma}_r/4}{\Omega^2 + \Gamma^2/4}. \quad (60)$$

В приближении однородной среды ( $\xi = 1$ )

$$R = L^2 + G^2, \quad T = L^2 + (1 - G)^2, \\ A = 2[G - (L^2 + G^2)]. \quad (61)$$

В отражении нет члена  $\sim L$ , т.е. это приближение не учитывает вклада в отражение, происходящего от знакопеременных членов в плотности тока (8).

В предельном случае  $\kappa d = 0$

$$|\Delta|^2 \rightarrow |\Delta_0|^2 = 16\xi^2 + X_0(L_0^2 + G_0^2) + Z_0G_0, \quad (62) \\ R = X_{10}(L_0^2 + G_0^2)/|\Delta_0|^2, \\ T = 16\xi^2[L_0^2 + (1 - G_0)^2]/|\Delta_0|^2, \\ A = 16\xi[\xi^2 + 1 + (-1)^{m_c+m_v}(\xi^2 - 1)] \\ \times [G_0 - (L_0^2 + G_0^2)]/|\Delta_0|^2. \quad (63)$$

Коэффициенты  $X_0$ ,  $Z_0$  и  $X_{10}$  получаются из формул (54) и (56), если в них положить  $\kappa d = 0$ :

$$X_0 = 8(\xi - 1)^2[\xi^2 + 1 + (-1)^{m_c+m_v}(\xi^2 - 1)], \\ X_{01} = 8[\xi^4 + 1 + (-1)^{m_c+m_v}(\xi^4 - 1)], \\ Z_0 = 8(\xi - 1)[\xi^2 - 1 + (-1)^{m_c+m_v}(\xi^2 - 1)] \\ \times [\xi + 1 - (-1)^{m_c+m_v}\xi - 1].$$

Функции  $G_0$  и  $L_0$  отличаются от  $G$  и  $L$  заменой  $\tilde{\gamma}_{rj}$  на  $\gamma_{rj}$ , так как при  $\kappa d \rightarrow 0$   $\varepsilon' \rightarrow 1$ . Кроме того, в  $\Omega_j$  (см. (37))  $\varepsilon'' = 0$ , а в  $\beta_j$  (см. (38))  $\varepsilon = 1$ .

#### 4. Отражение, поглощение и пропускание света в случае произвольной функции $\Phi(z)$

В разделах 2 и 3 формулы для  $R$ ,  $T$  и  $A$  были получены с использованием функции  $\Phi(z)$  в виде (4), что справедливо для свободных электронно-дырочных пар. В настоящем разделе  $\Phi(z)$  считается произвольной вещественной функцией; в частности, это может быть экситонная функция. Расчет, аналогичный выполненному в разделе 2, приводит к следующим выражениям для констант  $C_R$  и  $C_T$ :

$$C_R = (E_0/\Delta_1) \left\{ 2i(\xi^2 - 1) \sin \kappa d \right. \\ \left. + 2[e^{-i\kappa d} w_R + (-1)^{m_c+m_v}(\xi^2 - 1)]N \right\}, \quad (64)$$

$$C_T = (4E_0/\Delta_1)e^{-i\kappa d} \xi [1 + (-1)^{m_c+m_v}e^{-i\kappa d}N], \quad (65)$$

где

$$\Delta_1 = (\xi +)^2 e^{-i\kappa d} - (\xi - 1)^2 e^{i\kappa d} - 2(\xi - 1) \\ \times [(\xi + 1)e^{-i\kappa d} w + (-1)^{m_c+m_v}(\xi - 1)]N. \quad (66)$$

В (64)–(66) функция  $N$  определяется формулой (34) (либо (36)), а константы  $w$  (вещественная) и  $w_R$  (комплексная) равны

$$w = (-1)^{m_c+m_v} [F(0)^2 e^{-i\kappa d} + [F(0)^*]^2 e^{i\kappa d}] / [2|F(0)|^2], \quad (67)$$

$$w_R = (-1)^{m_c+m_v} [(\xi + 1)^2 F(0)^2 e^{-i\kappa d} \\ + (\xi - 1)^2 [F(0)^*]^2 e^{i\kappa d}] / (2|F(0)|^2). \quad (68)$$

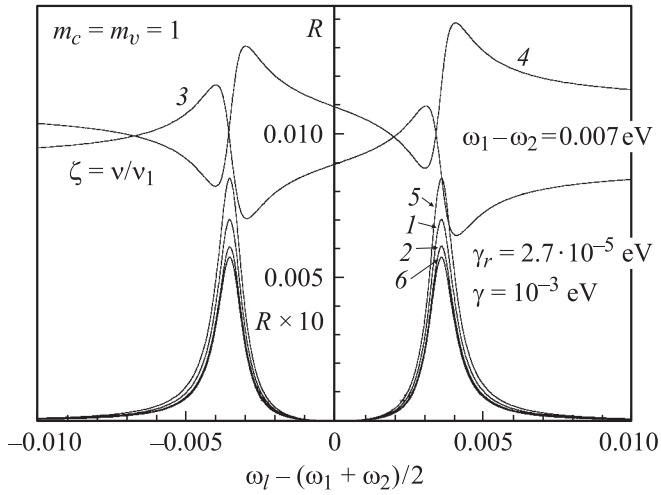
При выводе этих формул использовались соотношения ( $\Phi(z)$  считается вещественной, так как представляет одномерное движение)  $F(d) = e^{i\kappa d} F(0)^*$ ,  $\text{Re } \varepsilon = \varepsilon' = |F(0)|^2$ , которые следуют из (19). Если в качестве  $\Phi(z)$  использовать (4), то  $w \rightarrow 1$ ,  $w_R \rightarrow \xi^2 + 1$  и формулы (64)–(66) совпадают с (30) и (31).

Из сравнения выражений (64)–(66) с коэффициентами  $C_R$ ,  $C_T$  и  $\Delta$ , полученными в разделе 2, видно, что структура функции  $N$ , которая в основном определяет частотную зависимость, не зависит от вида  $\Phi(z)$ . Зависят от него лишь значения  $\text{Re } \varepsilon = \varepsilon'$  и  $\text{Im } \varepsilon = \varepsilon''$ , т.е. множитель  $\gamma_r$  и сдвиг резонансных частот. Множители  $w$  и  $w_R$ , входящие в  $\Delta_1$  и  $C_R$ , могут изменить лишь соотношение между вкладами в оптические характеристики величин  $L$  и  $G$ , введенных в разделе 3. Поэтому изменение оптических характеристик при изменении  $\Phi(z)$  вряд ли будет радикальным.

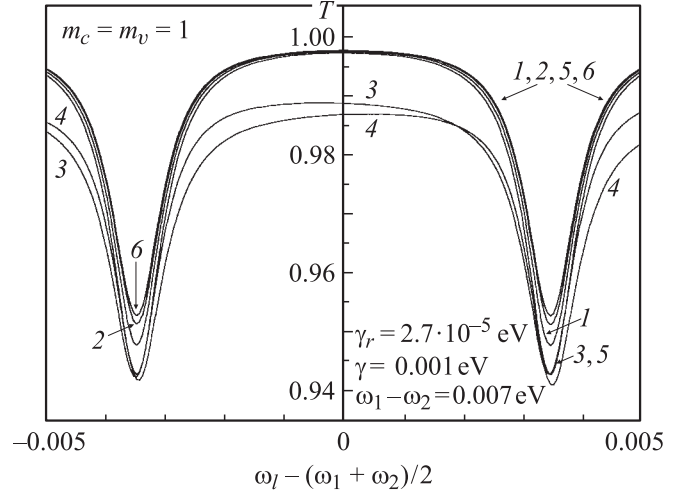
#### 5. Обсуждение результатов

Частотная зависимость коэффициентов отражения  $R$  и пропускания  $T$  вычислена для случая  $m_c = m_v = 1$  и  $\gamma_{r1} = \gamma_{r2} = \gamma_r$ ,  $\gamma_1 = \gamma_2 = \gamma$ , что соответствует системе полярон  $A$  и дырка с квантовым числом Ландау  $n = 1$  в условиях магнетофононного резонанса [23]. Вычисления проводились по формулам (46) и (47). Были использованы функции  $C_R$  и  $C_T$  из (30) и знаменатель  $\Delta$  из (31), а также функция  $N$  в виде (34).

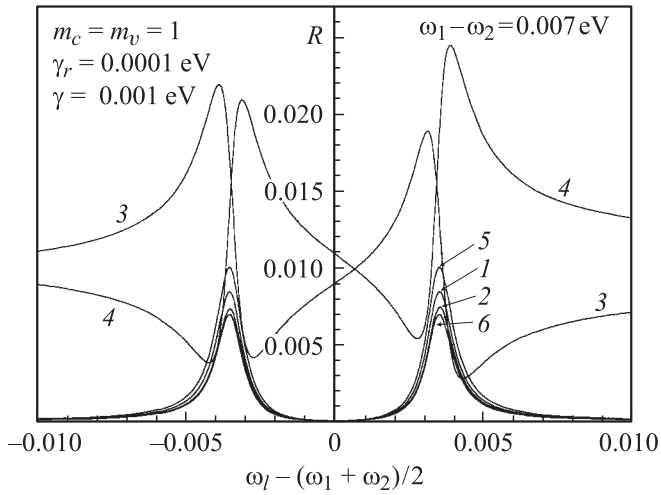
На рис. 1 и 2 отражение  $R$  приведено для малых значений отношения  $\gamma_r/\gamma$  обратных времен жизни. Видно, что кривые 3 и 4 для случая  $\xi = (v/v_1) \neq 1$  и  $\kappa d \neq 0$  радикально отличаются от случая  $\xi = 1$  (кривая 2) при том же значении  $\kappa d$ . Как упоминалось выше, в формуле для тока (8) содержатся знакопеременные члены  $\sim \omega_l - \omega_i$  и члены  $\sim \gamma_i [(\omega_l - \omega_i)^2 + \gamma_i^2]$ , соответствующие кривой поглощения. Кривые 3 и 4 относятся к случаю, когда преобладающими становятся знакопеременные члены. Поэтому и  $R(\omega_l)$  в этом случае аналогична кривой аномальной дисперсии. Наряду с изменением формы кривой отражения имеет место увеличение  $R$  (на рис. 1 примерно в 15 раз, а на рис. 2 — в 2 раза) по сравнению со случаями  $\kappa d \neq 0$ ,  $\xi = 1$  и  $\kappa d = 0$ ,  $\xi \neq 1$ . При  $\gamma_r/\gamma = 1$  преобладающим становится влияние поглощения, как это видно из рис. 3. Однако и влияние знакопеременных членов все еще заметно: кривые 3 и 4 ( $\xi = 1.1$  и  $\xi = 0.9$  соответственно) отличаются от кривой 2 ( $\xi = 1$ ). При дальнейшем увеличении  $\gamma_r/\gamma$



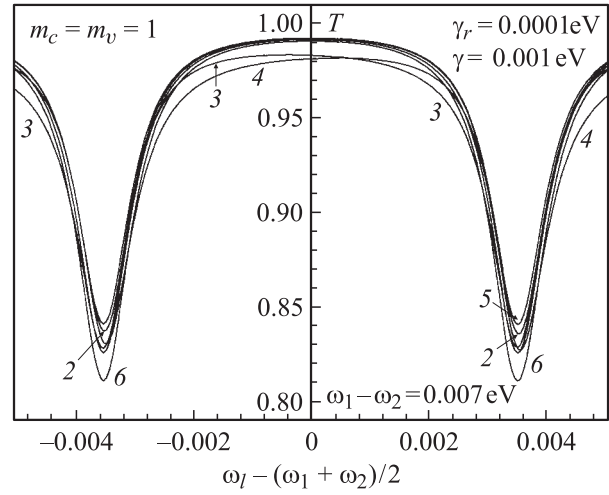
**Рис. 1.** Зависимость отражения  $R$  от частоты возбуждающей волны  $\omega_l$  для случая  $\gamma_r/\gamma = 0.027$ . Кривые 1, 2, 5, 6 увеличены в 10 раз. Здесь, а также на рис. 2–6  $\xi$  и  $\kappa d$  соответственно равны: 1 — 1 и 0, 2 — 1 и 1.5, 3 — 1.1 и 1.5, 4 — 0.9 и 1.5, 5 — 1.1 и 0, 6 — 0.9 и 0.



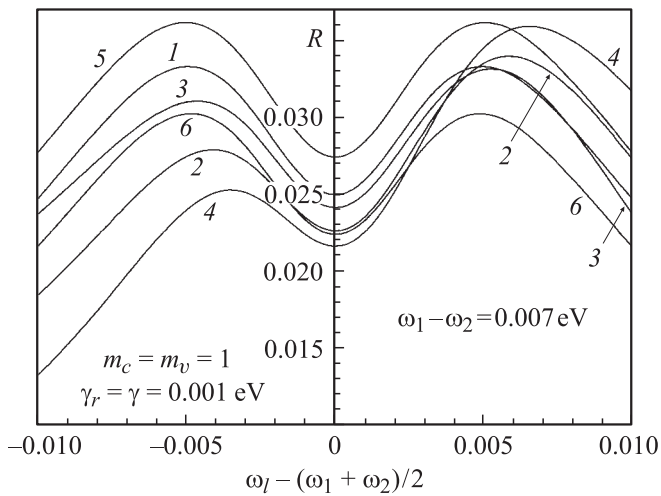
**Рис. 4.** Зависимость пропускания  $T$  от частоты возбуждающей волны  $\omega_l$  для случая  $\gamma_r/\gamma = 0.027$ .



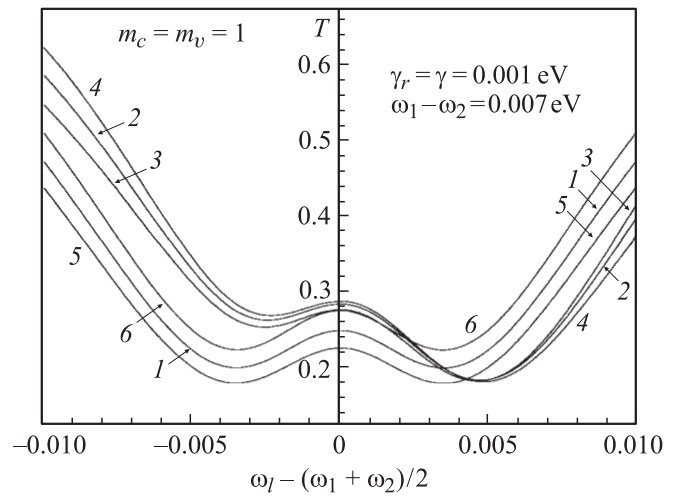
**Рис. 2.** То же, что на рис. 1, для  $\gamma_r/\gamma = 0.1$ .



**Рис. 5.** То же, что на рис. 3, для  $\gamma_r/\gamma = 0.1$ .



**Рис. 3.** То же, что на рис. 1, для  $\gamma_r = \gamma$ .



**Рис. 6.** То же, что на рис. 3, для  $\gamma_r = \gamma$ .



влияние аномальной дисперсии становится практически незаметным и функции  $R$ ,  $T$  и  $A$  совпадают с полученными в работе [22]. Кривые пропускания  $T$  приведены на рис. 4–6 для тех же значений параметров  $kd$ ,  $\xi$  и  $\gamma_r/\gamma$ , что и кривые на рис. 1–3. Видно, что пропускание малочувствительно к изменению параметра  $\xi$ . Это объясняется отсутствием в  $T(\omega_l)$  членов, пропорциональных  $\omega_l - \omega_1$  и  $\omega_l - \omega_2$  (см. (58)). Небольшое различие определяется знаменателем  $|\Delta|^2$ , в котором имеются линейные по  $\omega_l - \omega_j$  члены. Поглощение  $A$  вообще малочувствительно к изменению параметра  $\xi$  во всей области изменения  $\gamma_r/\gamma$ .

На рисунках приведены также  $R$  и  $T$  для случая  $\xi = 1$ ,  $kd = 1.5$  (кривая 2). Обращает на себя внимание асимметрия кривой 2 по сравнению со случаем  $kd = 0$ ,  $\xi \neq 1$  (кривые 5 и 6). Асимметрия является следствием учета в теории высших порядков по взаимодействию возбуждающей электромагнитной волны с электронной системой, что приводит к появлению сдвигов резонансных частот; эти сдвиги по-разному комбинируются с резонансными частотами  $\omega_1$  и  $\omega_2$ . При переходе к пределу  $kd \rightarrow 0$  сдвиги исчезают и симметрия кривых восстанавливается.

Наконец, кривые 5 и 6 на рисунках соответствуют случаю  $kd = 0$ ,  $\xi \neq 1$ . Кривые здесь симметричны, а влияние параметра  $\xi$  проявляется в параллельном сдвиге кривых (если  $\gamma_r = \gamma$ ) либо изменении в окрестности экстремумов ( $\gamma_r \leq \gamma$ ).

Главный вывод, который следует из приведенного расчета, заключается в том, что при больших радиационных временах жизни возбужденных состояний по сравнению с нерадиационными временами (которые определяются, в частности, рассеянием электронов и дырок на примесях и фононах) частотная зависимость коэффициента отражения определяется в основном знакопеременными членами в выражении для плотности тока. В этом случае можно пренебречь величиной  $\gamma_r$  в резонансных знаменателях, т.е. решать задачу в линейном по взаимодействию электромагнитной волны с электронной системой приближении.

## Список литературы

- [1] H. Stolz. Time resolved light scattering from excitons. Springer Tracts in Modern Physic. Springer, Berlin (1994).
- [2] J. Shah. Ultrafast spectroscopy of semiconductors and semiconductor nanostructures. Berlin (1996).
- [3] H. Hang, S.W. Koch. Quantum theory of the optical and electronics properties of semiconductors. World Scientific (1993).
- [4] Л.Е. Воробьев, Е.Л. Ивченко, Д.А. Фирсов, В.А. Шалыгин. Оптические свойства наноструктур. Наука, СПб (2002).
- [5] L.C. Andreani, F. Tassone, F. Bassani. Solid State Commun. **77**, 641 (1991).
- [6] L.C. Andreani. In: Confined electrons and photons / Eds E. Burstein., C. Weisbuch. Plenum Press, N.Y. (1995). P. 57.
- [7] Е.Л. Ивченко. ФТТ **33**, 2388 (1991).
- [8] Е.Л. Ивченко, А.В. Кавокин. ФТТ **34**, 1815 (1992).
- [9] F. Tassone, F. Bassani, L.C. Andreani. Phys. Rev. B **45**, 6023 (1992).
- [10] T. Stroucken, A. Knorr, C. Anthony, P. Thomas, S.W. Koch, M. Khoch, S.T. Gundiff, J. Feldman, E.O. Göbel. Phys. Rev. Lett. **74**, 2391 (1995).
- [11] T. Stroucken, A. Knorr, P. Thomas, S.W. Khoch. Phys. Rev. B **53**, 2026 (1996).
- [12] M. Hübner, T. Kuhl, S. Haas, T. Stroucken, S.W. Koch, R. Hey, K. Ploog. Solid State Commun. **105**, 105 (1998).
- [13] I.G. Lang, V.I. Belitsky, M. Cardona. Phys. Stat. Sol. (a) **164**, 307 (1997).
- [14] I.G. Lang, V.I. Belitsky. Phys. Lett. A **245**, 329 (1998).
- [15] I.G. Lang, V.I. Belitsky. Solid State Commun. **107**, 577 (1998).
- [16] И.Г. Ланг, Л.И. Коровин, Д.А. Контрерас-Солорио, С.Т. Павлов. ФТТ **42**, 2230 (2000); Cond-mat/0006364.
- [17] D.A. Contreras-Solorio, S.T. Pavlov, L.I. Korovin, I.G. Lang. Phys. Rev. B **62**, 16 815 (2000); Cond-mat/0002229.
- [18] И.Г. Ланг, Л.И. Коровин, Д.А. Контрерас-Солорио, С.Т. Павлов. ФТТ **43**, 1117 (2001); Cond-mat/0004178.
- [19] И.Г. Ланг, Л.И. Коровин, Д.А. Контрерас-Солорио, С.Т. Павлов. ФТТ **44**, 2084 (2002); Cond-mat/0001248.
- [20] Л.И. Коровин, И.Г. Ланг, Д.А. Контрерас-Солорио, С.Т. Павлов. ФТТ **43**, 2091 (2001).
- [21] Л.И. Коровин, И.Г. Ланг, Д.А. Контрерас-Солорио, С.Т. Павлов. ФТТ **44**, 1681 (2002).
- [22] И.Г. Ланг, Л.И. Коровин, С.Т. Павлов. ФТТ **48**, 1693 (2006).
- [23] И.Г. Ланг, Л.И. Коровин, С.Т. Павлов. ФТТ **47**, 1704 (2005); Cond-mat/0411692.
- [24] И.Г. Ланг, С.Т. Павлов, Л.И. Коровин. ФТТ **46**, 1708 (2004).
- [25] J.M. Luttinger, W. Kohn. Phys. Rev. **97**, 869 (1955).
- [26] И.М. Цидильковский. Зонная структура полупроводников. Наука, М. (1978).
- [27] Л.И. Коровин, И.Г. Ланг, С.Т. Павлов. ЖЭТФ **118**, 388 (2000); Cond-mat/0004373.
- [28] И.В. Лернер, Ю.Е. Лозовик. ЖЭТФ **78**, 1167 (1980).